风云三号 H 星红外高光谱大气探测仪-II 型

L1 模拟数据使用说明

(V1.0)

国家卫星气象中心 2025 年 8 月

文档编写: 窦芳丽

文档校对: 王皓飞

文档审核: 商 建

文档批准: 胡秀清

文档修订记录

| 版本号 | 日期 | 修订内容 | 修订人 | 注 记 |
|------|--------|------|-----|-----|
| V1.0 | 2025.8 | 起草 | 窦芳丽 | |
| | | | | |
| | | | | |
| | | | | |
| | | | | |

目 录

| 1 | 引言 | | 1 |
|---|------|-----------|---|
| • | 31 H | | |
| | 1.1 | 文档概述 | 1 |
| | 1.2 | 依据文件 | 1 |
| 2 | 数据定 | 义 | 1 |
| 3 | 数据规 | 格格 | 2 |
| 4 | 算法和 | 处理流程 | 2 |
| 5 | 数据使 | 用说明 | 3 |
| | 5.1 | 数据读取与使用说明 | 3 |
| | 5.2 | 应用限制条件 | 5 |
| 6 | 数据示 | 例 | 6 |
| 7 | 技术支 | 持 | 7 |

1 引言

1.1 文档概述

风云三号卫星红外高光谱大气探测仪(HIRAS)提供地气系统的高光谱分辨率红外辐射观测,光谱覆盖 650~1136 cm⁻¹、1210~1750 cm⁻¹、2155~2550 cm⁻¹ 三个波段共 1370 个通道。相对于风云三号卫星 01 批低光谱分辨率通道式分光仪器(红外分光计),其光谱通道数量增加了 70 倍,光谱分辨率最高达 0.625 cm⁻¹,可以更精确地探测到更高垂直分辨率的大气温度和水汽信息。红外高光谱大气探测资料将用于反演更高精度的大气温度(精度提高 0.5K)和大气湿度廓线(精度提高 10%),以及通过在数值天气预报模式中同化该资料改进数值天气预报的精度。

本文档主要包含 FY-3H 卫星红外高光谱大气探测仪-II 型 L1 模拟数据产品的数据定义、规格,模拟数据生成算法的基本原理和流程,以及数据使用说明描述。

1.2 依据文件

- (1) 风云三号(03 批)气象卫星地面应用系统工程 H 星红外高光谱大气探测仪-II型 L1 数据产品特性卡,国家卫星气象中心
- (2) 风云三号 H 星红外高光谱大气探测仪-II 型 L1 产品使用说明,国家卫星气象中心

2 数据定义

FY-3H 红外高光谱大气探测仪-II 型(Hyperspectral Infrared Atmospheric Sounder -II, HIRAS-II)L1 模拟数据包含内容主要是基于数值预报模式数据和辐射传输模式模拟的 HIRAS-II 红外通道的一级轨道段亮温及其辅助信息。

HIRAS-II L1 模拟数据以欧洲中心第五代再分析(European Centre for Medium-range Weather Forecasts ReAnalysis 5,ERA-5)数据为背景场,基于卫星轨道模拟和遥感仪器观测几何模拟生成 FY-3H HIRAS-II 的地理位置、观测时间和观测几何信息,利用快速辐射传输模式 RTTOV13.1(Radiative Transfer for TOVS)模拟晴空条件下的观测亮温,单位为 K。

3 数据规格

HIRAS-II L1 模拟数据包括:

L1 段数据:基于 HIRAS-II 轨道和观测几何模拟的一级轨道段亮温,空间分辨率为 14km,覆盖范围为全球,每日 288 段数据,格式为 HDF5。

数据名 投影 覆盖 空间分辨 更新 数据名称 称 方式 范围 率 频率 FY3H HIRAS GRAN L1 5分 段数据 全球 14km 钟段 YYYYMMDD HHmm 014KM Vn.HDF

表 3-1 HIRAS-II L1 模拟数据规格列表

4 算法和处理流程

观测几何模拟:利用 FY-3H 业务系统模拟轨道,基于遥感仪器理想姿态条件,根据扫描镜的运动规律,模拟 FY-3H HIRAS-II 仪器观测角度及时序,以及该观测角度下的太阳天顶角、太阳方位角、卫星天顶角、卫星方位角及经纬度信息。

观测亮温模拟:针对观测几何模拟得到的 FY-3H HIRAS-II 观测像元经纬度、入射角、方位角和时间,从 ERA-5 数据中提取观测亮温模拟需要的大气和陆表参数(包括温度、湿度、气压、海陆掩码、海表面温度、2m 湿度等),并利用反距离加权方法先将 ERA-5 数据空间插值到观测像元经纬度,再进行时间插值到观测时间。将大气和陆表参数、观测角输入 RTTOV 辐射传输模式,生成模拟亮温。所采用的正演模拟参数化方案如下表所示。

RTTOV 版本 13.1

RTTOV 系数版本 V13

地表发射率方案 Fastem 6

地表发射率数据 UWirbfemis_COEF_V2.1_0.1deg_2017xx_mask.H5

红外海洋发射率方案 IREMIS

表 3-1 正演模拟参数化方案

HIRAS-II L1 模拟数据处理流程图见下图。

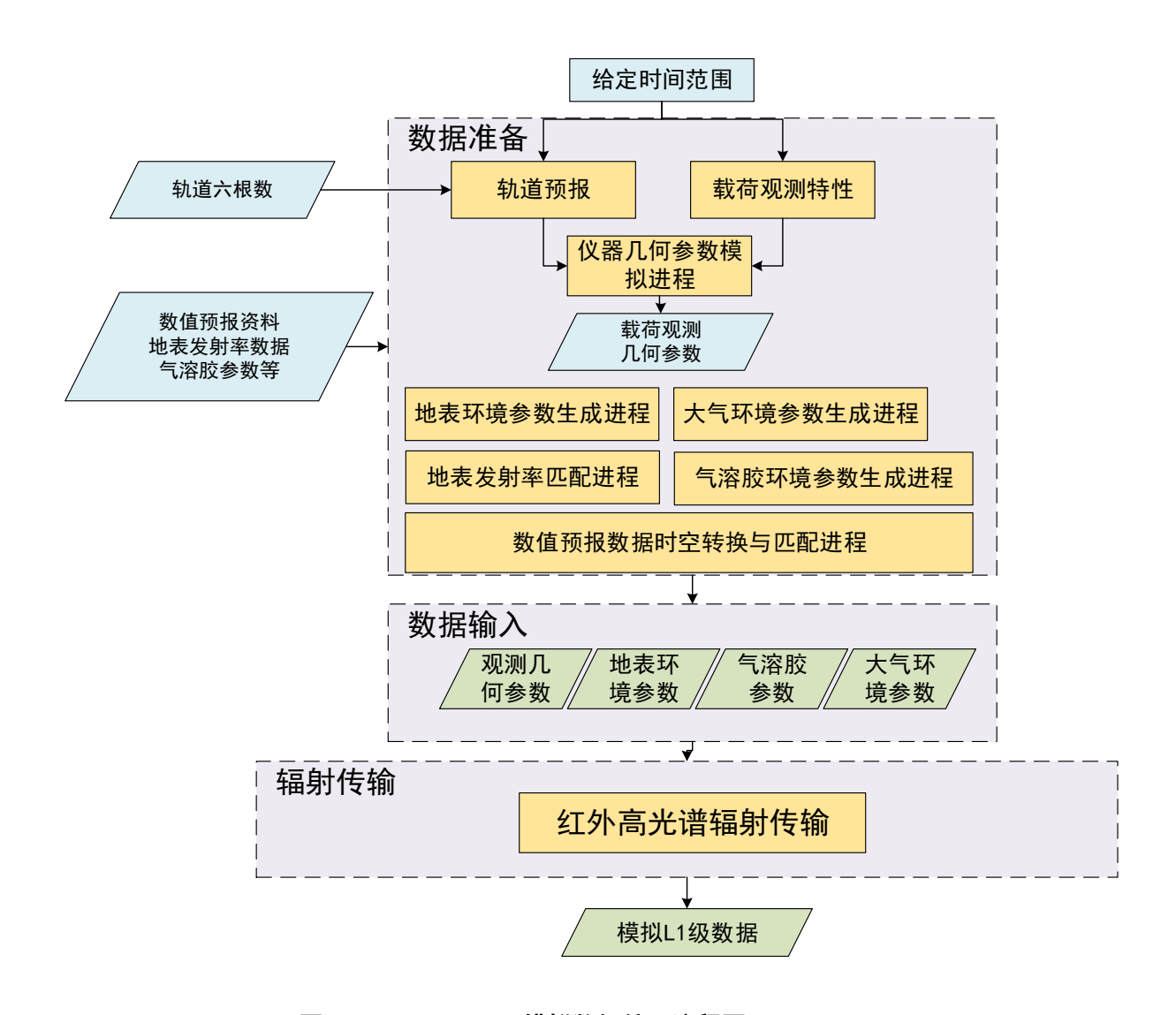


图 4-1 HIRAS-II L1 模拟数据处理流程图

5 数据使用说明

5.1 数据读取与使用说明

HIRAS-II L1 模拟数据以 HDF5 格式存储,主要物理参数特性如下表所示,参数的物理数值通过如下公式转换而来:

$$Par = Slope \times Data + Intercept$$
 (5-1)

其中, Par 为参数的物理数值, Data 为数据 HDF 文件中记录该参数的数据, Slope 为缩放比例, Intercept 为偏移量。

表 5-1 HIRAS-II L1 模拟数据的主要参数

| 科学数据集 | | | | | |
|-------------|---------|-----------------|---|---|--|
| 分组名称 | 科学数据集名 | | 科学数据集英文描述 | 科学数据集中文描述 | |
| | SDS 1. | Dayent | Day Count of Observation Time from 12:00 am, 2000.1.1, UTC | 观测时间天计数, 自世界时 2000 年 1 月 1 日中午 12:00 开始计数 | |
| | SDS 2. | Mscnt | Millisecond Count of Observation Time from 12:00 am of Each Day in UTC | 观测时间毫秒计数,自 世界时每天的中午 12:00开始计数(对地观 测从 FOR0~FOR28) | |
| | SDS 3. | Latitude | Latitude of FOV on WGS84 | FOV 的 WGS84 大地纬 度 | |
| | SDS 4. | Longitude | Longitude of FOV on WGS84 | FOV 的 WGS84 大地经 度 | |
| Geolocation | SDS 5. | Altitude | Altitude of FOV on Earth Topography based on Digital Elevation Model | FOV 的经地形校正后的 大地高度,地球模型由 DEM 确定 | |
| | SDS 6. | Solar_Azimuth | Solar Azimuth Angle | 太阳方位角 | |
| | SDS 7. | Solar_Zenith | Solar Zenith Angle | 太阳天顶角 | |
| | SDS 8. | Sensor_Azimuth | Sensor Azimuth Angle | 仪器方位角 | |
| | SDS 9. | Sensor_Zenith | Sensor Zenith Angle | 仪器天顶角 | |
| | SDS 10. | LandSeaMask | Land Sea Mask | 海陆掩码 | |
| | SDS 11. | Land_Cover | Land Cover | 地表覆盖类型 | |
| | SDS 12. | ES_RealLW | Earth Scene LWIR Real Radiance Spectrum | 对地观测长波实部辐射 | |
| | SDS 13. | ES_RealMW1 | Earth Scene MWIR1 Real Radiance Spectrum | 对地观测中波 1 实部辐射 | |
| D (| SDS 14. | ES_RealMW2 | Earth Scene MWIR2 Real Radiance Spectrum | 对地观测中波 2 实部辐射 | |
| Data | SDS 15. | ES_ImaginaryLW | Earth Scene LWIR Imaginary Radiance Spectrum | 对地观测长波虚部辐射 | |
| | SDS 16. | ES_ImaginaryMW1 | Earth Scene MWIR1 Imaginary Radiance Spectrum | 对地观测中波 1 虚部辐射 | |
| | SDS 17. | ES_ImaginaryMW2 | Earth Scene MWIR2 Imaginary Radiance Spectrum | 对地观测中波 2 虚部辐射 | |

| | SDS 18. | ICT_NEdN_LW | ICT LWIR NEdN Spectrum | 黑体观测长波噪声估计 |
|----|---------|---------------------|--|-------------------|
| | SDS 19. | ICT_NEdN_MW1 | ICT MWIR1 NEdN Spectrum | 黑体观测中波 1 噪声估 计 |
| | SDS 20. | ICT_NEdN_MW2 | ICT MWIR2 NEdN Spectrum | 黑体观测中波 2 噪声估 计 |
| | SDS 21. | Spectral_Resolution | Spectral_Resolution in 3 bands | 光谱分辨率 |
| | SDS 22. | Begin_Wavenumber_Ua | Begin wavenumber of unapodized channels for 3 bands | 未切趾起始波数 |
| | SDS 23. | End_Wavenumber_Ua | End wavenumber of unapodized channels for 3 bands | 未切趾结束波数 |
| | SDS 24. | Begin_Wavenumber_a | Begin wavenumber of apodized channels for 3 bands | 切趾起始波数 |
| | SDS 25. | End_Wavenumber_a | End wavenumber of apodized channels for 3 bands | 切趾结束波数 |
| | SDS 26. | WN_LW | LW Wavenumber | 长波波数 |
| | SDS 27. | WN_MW1 | MW1 Wavenumber | 中波1波数 |
| | SDS 28. | WN_MW2 | MW2 Wavenumber | 中波2波数 |
| | SDS 29. | QA_flag_Scnline | Scan Line Quality Flag | 扫描线质量标识字 |
| | SDS 30. | QA_flag_Process | Processing Quality Flag | 处理过程质量标识 |
| QA | SDS 31. | QA_Score | Earth Observation Quality Score | 观测质量评分 |
| | SDS 32. | QA_Checksum | Check sum information | 校验和信息 |

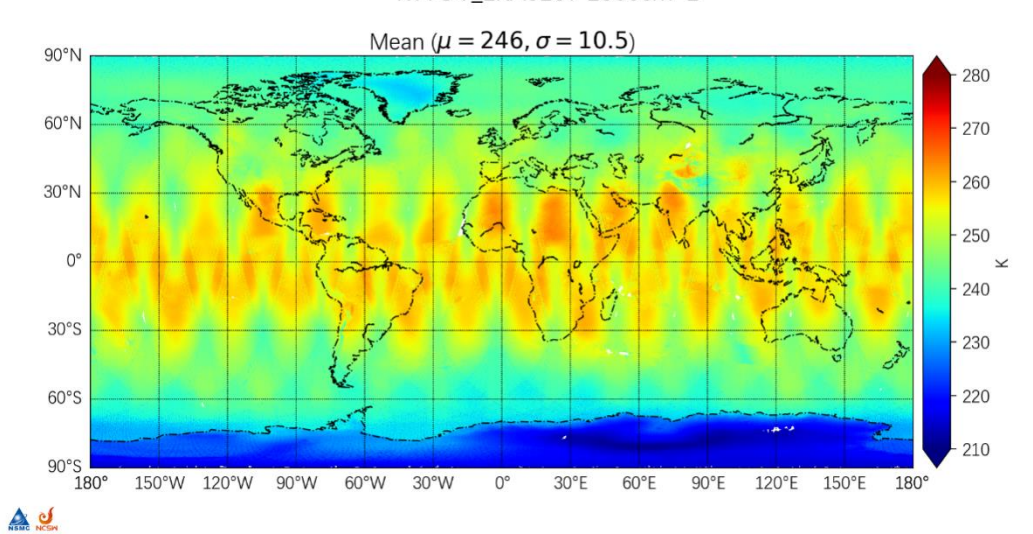
5.2 应用限制条件

- (1) HIRAS-II 为晴空模拟,即云和降水区为没有考虑云和降水影响的晴空亮温;
- (2) 当前数据模拟了 HIRAS-II 红外通道的观测亮温,辐射值用亮温值填充。

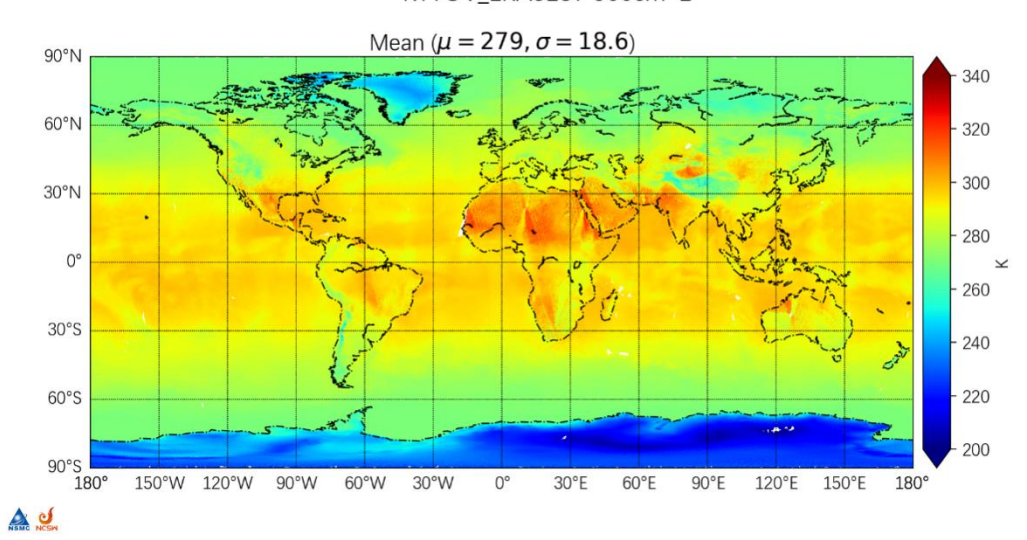
6 数据示例

HIRAS-II L1 模拟数据如下:

Geographic Statistics of FY3H HIRAS 2024-05-09 RTTOV_ERA5137 1300cm-1



Geographic Statistics of FY3H HIRAS 2024-05-09 RTTOV_ERA5137 900cm-1



Geographic Statistics of FY3H HIRAS 2024-05-09 RTTOV_ERA5137 680cm-1

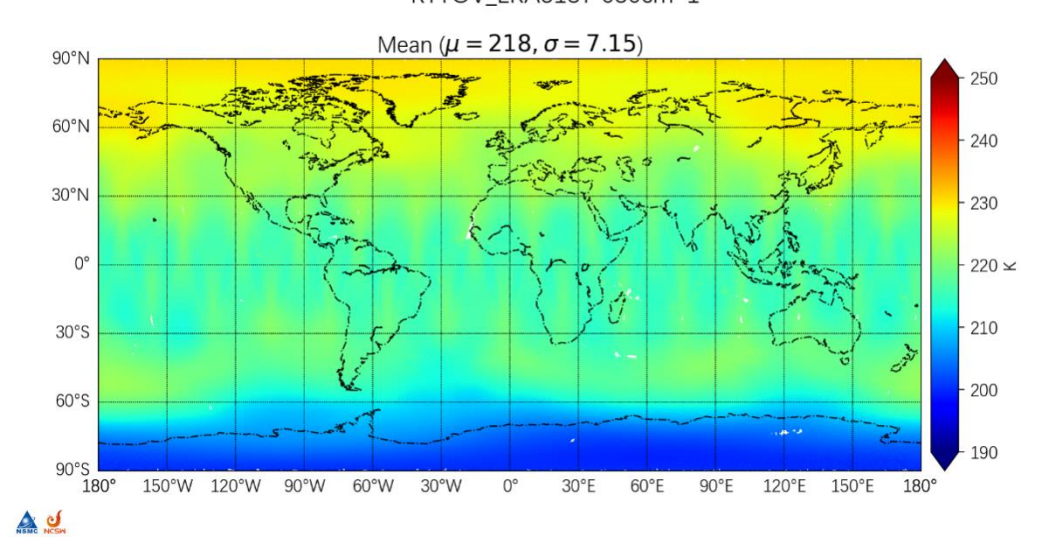


图 6-1 2024年5月9日的 HIRAS-II L1 模拟数据图

7 技术支持

联系人: 窦芳丽

电话: 010-58993729

邮箱: doufl@cma.gov.cn